

# Circuitos Sequenciais e Projeto RTL

Arthur Simões Gonzaga

Engenharia Eletrônica

Universidade de Brasília

Campus Gama

Email: arthursgonzaga@gmail.com

Matrícula: 14/0016775

Leonardo Borges Brandão de Freitas

Engenharia Eletrônica

Universidade de Brasília

Campus Gama

Email: leonardobbfga@gmail.com

Matrícula: 14/0025197

**Resumo**—Este presente relatório visa apresentar a aplicação de circuitos sequenciais e projetos RTLs (*Register-transfer Level*) em FPGAs (*Field-programmable Gate Arrays*). As aplicações em processamentos de sinais, filtros Sobel e Kalman, foram desenvolvidos em VHDL (*VHSIC Hardware Description Language*) voltados para a plataforma da Xilinx, Basys 3. Desenvolveu-se os aspectos teóricos da disciplina de Projetos de Circuitos Reconfiguráveis, tais como: desenvolvimento dos diagramas de blocos RTL, criação de *testbenchs*, utilização de *IPCores* e afins. Por fim, analisou-se os aspectos de tempo e de energia, e os resultados a fim de obter uma comparação com ferramentas já consolidadas, tais como o *MatLab*.

## I. INTRODUÇÃO

Circuitos eletrônicos têm diversas aplicações no cotidiano. Vê-se diversas aplicações nos campos de processamentos de sinais, telecomunicações ou no controle de plataformas, tais como satélites. Com o avanço tecnológico das tecnologias, hoje é possível atingir *sistemas on chip* com características reprogramáveis. São os casos das FPGAs, dispositivos PLD (*programmable logic device*), que, segundo [2], permitem configuração e reconfiguração de qualquer circuito digital.

Para as aplicações mostradas neste experimento, abordou-se processamentos de sinais, a partir do filtro Sobel, e cálculo matricial, com o cálculo do ganho do filtro de Kalman. Organizou-se então a recursividade das FPGAs a favor do processamento paralelo e a utilização de *IPCores*, explorados na seção II. Após isto, aborda-se um breve estudo sobre a utilização do hardware disponível e seu consumo energético. Conclui-se o presente artigo, na comparação de valores obtidos, já na seção III, com o processamento em hardware e software, visando a análise temporal.

### A. Fundamentação Teórica

1) **Filtro Sobel:** A detecção de bordas nas imagens pode ser um recurso muito poderoso nas aplicações de deep learning, reconhecimento de formas e imagens. O filtro Sobel, é uma aplicação de processamento de sinais, um algoritmo que usufrui de diferenças finitas para cálculo do gradiente da imagem.

Matematicamente, o filtro Sobel é uma convolução de um kernel de 3 pixels por 3 pixels com uma imagem desejada. O kernel utilizado influi na extração do gradiente e altera a sensibilidade quanto à borda. Além do mais, há dois tipos de kernel, um para extração em ordem vertical e outro para ordem horizontal.

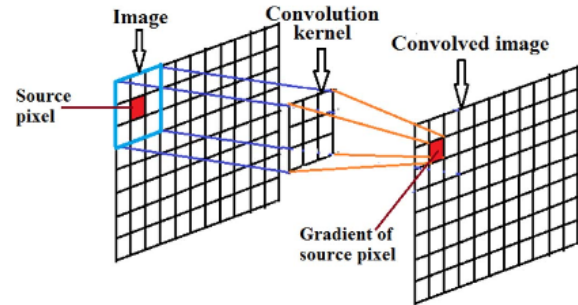


Figura 1. Exemplificação da convolução entre kernel e imagem. Fonte: A FPGA based implementation of Sobel edge detection.

Sendo A uma matriz 5 por 5 de pixels originais retirados da imagem, conforme figura 2, matriz G, também 5 por 5, o kernel do operador Sobel, o algoritmo escolhido para esta aplicação segue os seguintes passos:

$(i-2,j-2)$	$(i-2,j-1)$	$(i-2,j)$	$(i-2,j+1)$	$(i-2,j+2)$
$(i-1,j-2)$	$(i-1,j-1)$	$(i-1,j)$	$(i-1,j+1)$	$(i-1,j+2)$
$(i,j-2)$	$(i,j-1)$	$(i,j)$	$(i,j+1)$	$(i,j+2)$
$(i+1,j-2)$	$(i+1,j-1)$	$(i+1,j)$	$(i+1,j+1)$	$(i+1,j+2)$
$(i+2,j-2)$	$(i+2,j-1)$	$(i+2,j)$	$(i+2,j+1)$	$(i+2,j+2)$

Figura 2. Exemplo de matriz 5 por 5 utilizada nas operações.

- 1) Tratamento da imagem para binário;
- 2) Implementação de um registrador para extrair a matriz A;
- 3) Multiplicação em paralelo de cada elemento entre a matriz A e o kernel  $G_x$  ou  $G_y$ ;
- 4) Utilização de um acumulador, somando todos os elementos da multiplicação;
- 5) Comparação do valor acumulado para detecção de borda.

Têm-se então como formulação geral:

$$pixel_{out} = \sum_{i=0}^4 \sum_{j=0}^4 G(i, j) * A(i, j) \quad (1)$$

Para a tomada de decisão, têm-se então as seguintes preposições:

$$pixel_{out} = \begin{cases} pixel_{out} > 255, pixel_{out} = 255 \\ 0 < pixel_{out} < 255, pixel_{out} = pixel_{out} \\ pixel_{out} < 0, pixel_{out} = 0 \end{cases} \quad (2)$$

Por fim, a imagem se torna composta por valores entre 0 e 255 (utilizando o caso de 8 bits), sendo 0 um pixel preto e 255 um pixel branco.

2) *Cálculo do Filtro de Kalman*: Rudolf Kalman, matemático húngaro, desenvolveu o filtro de Kalman, um algoritmo matemático que tem por objetivo prever resultados próximos a grandezas medidas utilizando de medidas realizadas ao longo do tempo na presença de ruídos. O filtro de Kalman possui aplicação na telecomunicação, principalmente em PLLs (*phased-locked loop*).

Nesta aplicação, busca-se realizar o cálculo do seu ganho a partir do paralelismo de fatores matriciais. Paralelismo é um recurso intrínseco a ser explorado nas FPGAs, tendo em vista que a descrição de hardware possibilita a utilização de LUTs (*look-up tables*) e outros componentes de forma paralela.

O cálculo do filtro de Kalman é dado por:

$$K_{3 \times 2} = A_{3 \times 3} B_{3 \times 2}^T [B_{2 \times 3} A_{3 \times 3} B_{3 \times 2}^T + C_{2 \times 2}]^{-1} \quad (3)$$

Na matriz inversa, usufrui-se de uma operação analítica baseada na matriz de cofatores. Para tal, utiliza-se então:

$$X^{-1} = \frac{1}{|X|} C_{(i,j)}^T \quad (4)$$

Sendo X a matriz a qual deseja-se calcular a inversa,  $|X|$  o determinante da matriz X e  $C^T$  a matriz dos cofatores transposta.

## II. PROCEDIMENTOS EXPERIMENTAIS

### A. Filtro Sobel

No filtro Sobel utilizou-se do diagrama de blocos da figura ??, na qual segue os passos do algoritmo explicado na descrição I-A1.

Após desenho da estrutura lógica do filtro sobel, buscou-se implementar a solução dedicada à placa Basys 3, da Xilinx, da família Artix-7, a partir da ferramenta Vivado Design Suite.

A metodologia utilizada foi de implementar partes do filtro e testar, por meio dos testbench dedicado, se determinada parte era funcional ou estava com algum problema.

Iniciou-se a implementação do filtro sobel para uma matriz de 250 por 250 pixels, sendo cada pixel de 8 bits. Em seguida a implementação deste filtro, foi realizada a codificação em binário da imagem por meio do *MatLab* para que a simulação pudesse ser executada. Criou-se o testbench para tal ação e

após cada simulação, obtinha-se um log de quais eram os erros, podendo assim, corrigi-los.

Depois de obter valores satisfatórios, pôde-se buscar uma implementação genérica do filtro, de forma atingir os requisitos do projeto: utilização de uma chave seletora para detecção de bordas verticais ou horizontais; alteração do código para parametrização, com o intuito de poder aplicar entradas (imagens) de diferentes tamanhos e com maior resolução, isso nos traz a capacidade de processar imagens de 5x5 até valores muito maiores.

Os pontos mais relevantes observados nas simulações foram: ajuste do tempo de simulação, para que toda a imagem pudesse ser lida e processada; regulagem da matriz kernel do filtro, tanto da matriz vertical quanto da horizontal. Neste ponto, não foi encontrado referências consolidadas com exemplos de matrizes 5 por 5 dedicados ao filtro sobel, então, estimou-se valores para realizar as simulações;

Enfim, foram feitos 4 testbenchs com 2 parâmetros a serem modificados: tamanho da imagem, que poderia ser de 100 pixels por 100 pixels, e tamanho do pixel, de 8 ou 10 bits.

### B. Cálculo do filtro Kalman

Para explorar o paralelismo intrínseco das operações no cálculo do ganho do filtro Kalman, representado pela equação 3, foi implementado em VHDL um circuito sequencial de acordo com o diagrama de blocos a seguir.

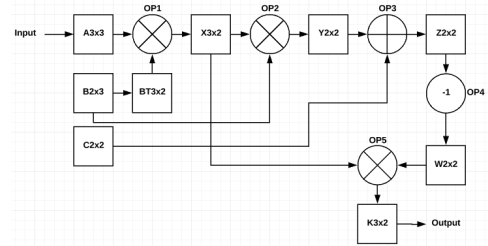


Figura 3. Diagrama de Blocos 01.

Como pode ser observado no diagrama acima utilizou-se registradores matriciais para armazenar o resultado das operações intermediárias do cálculo do ganho do filtro Kalman, como mostrado na tabela em anexo, II.

1) *Operações Intermediárias*: **OP1**: Para essa operação utilizou-se a matriz constante B2x3 em configuração transposta (BT3x2) multiplicando-a pela matriz de entradas do usuário A3x3 e armazenando os resultados na matriz auxiliar X3x2, de acordo como abaixo:

$$X(2, 3) = B(2, 3) * A(3, 3) \quad (5)$$

Realizando essas operações com o maior grau de paralelismo possível se faz necessário a implementação em VHDL de 3 componentes de multiplicação e 2 componentes de soma para cada um dos 6 elementos da matriz X. Totalizando 18 multiplicações paralelas, seguidas de 6 somas paralelas, e por último 6 somas paralelas finais.

**OP2:** Para essa operação utilizou-se a matriz constante B2x3 multiplicando-a pela matriz X3x2 resultante da operação anterior (OP1), armazenando os resultados na matriz auxiliar Y2x2. de acordo com o equacionamento abaixo:

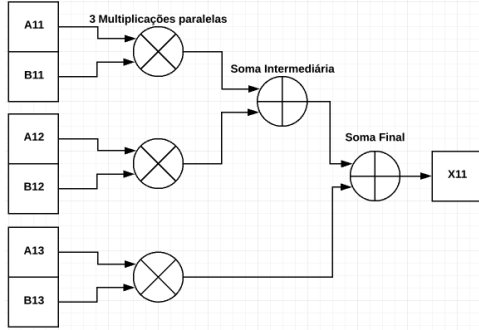


Figura 4. Diagrama de Blocos 02.

$$Y(2,2) = X(2,3) * A(3,2) \quad (6)$$

Realizando essas operações com o maior grau de paralelismo possível se faz necessário a implementação em VHDL de 3 componentes de multiplicação e 2 componentes soma para cada um dos 4 elementos da matriz Y. Totalizando 12 multiplicações paralelas, seguidas de 4 somas paralelas e por último 4 somas paralelas finais.

**OP3:** Para essa operação utilizou-se a matriz constante C2x2 somando-a com a matriz Y2x2 resultante da operação anterior (OP2), armazenando os resultados na matriz auxiliar Z2x2. de acordo com o equacionamento abaixo:

$$Z(2,2) = C(2,2) * Y(2,2) \quad (7)$$

Essa operação é bem simples de se realizar sendo necessário apenas 4 componentes de soma que trabalham em paralelo entre si.

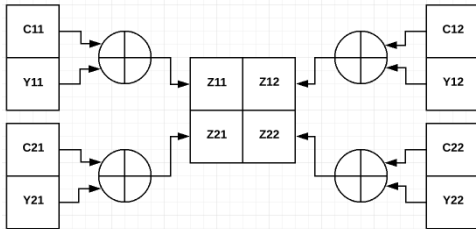


Figura 5. Diagrama de Blocos 03.

**OP4:** Nessa operação realizou-se a inversão da matriz Z2x2 resultante da operação anterior (OP3) armazenado o resultado na matriz auxiliar W2x2. Para inverter uma matriz 2x2 é necessário trocar de posição os elementos de sua diagonal principal, negatar os elementos da diagonal secundaria e finalmente dividir cada elemento pelo determinante da matriz.

$$W_{2x2} = Z_{2x2}^{-1} \quad (8)$$

$$W_{2x2} = \frac{1}{Z_{11} * Z_{22} - Z_{12} * Z_{21}} * \begin{bmatrix} Z_{22} & -Z_{12} \\ -Z_{21} & Z_{11} \end{bmatrix} \quad (9)$$

Dessa forma se faz necessário 2 multiplicações em paralelo, seguidas de uma subtração resultando no determinante de Z, e finalmente 4 divisões paralelas entre cada elemento da matriz pelo determinante previamente calculado, formatando, desta forma, a matriz auxiliar W.

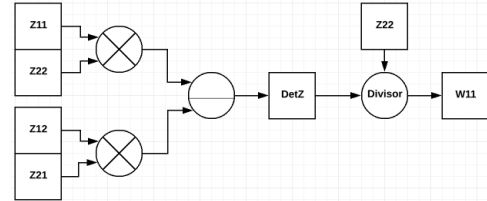


Figura 6. Diagrama de Blocos 04.

**OP5:** Essa é a operação final que resulta na matriz K3x2. Para tanto, utilizou-se a matriz W2x2, resultante da operação anterior (OP4), multiplicando-a pela matriz X3x2 que está armazenada em memória desde a primeira operação (OP1).

Realizando essas operações com o maior grau de paralelismo possível se faz necessário a implementação em VHDL de 2 componentes de multiplicação e 1 componentes de soma para cada um dos 6 elementos da matriz K. Totalizando 12 multiplicações paralelas, seguidas de 6 somas paralelas.

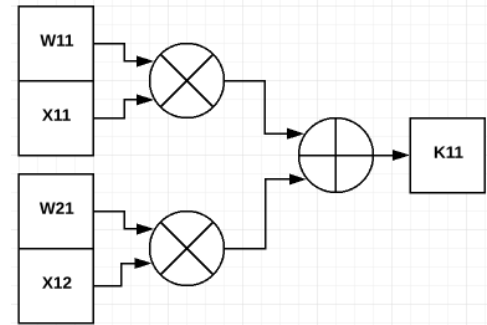


Figura 7. Diagrama de Blocos 05.

2) *Funcionamento Sequencial:* Primeiramente, antes das operações aritméticas ocorrerem, é preciso discutir a quantidade de memória necessária para armazenar os dados de entrada que usuários insere no sistema. Dados esses formatados em uma matriz A3x3 que possui 9 elementos representados por 16 bits cada um. Para tanto um vetor de entrada (reg\_IN) de 144 bits de memória é totalmente carregado após 9 ciclos de clock com todos os dados de entrada do usuário, e logo depois organiza-os na matriz A3x3.

$$(9 \text{ ciclos de clock}) * \left( \frac{16 \text{ bits}}{\text{ciclo de clock}} \right) = 144 \text{ bits}$$

Após a entrada de dados no sistema e o processamento desses dados a partir das operações intermediárias discutidas

na sessão anterior, o usuário deve selecionar o elemento da matriz resultante  $K_{3 \times 2}$  que gostaria de observar. Para tanto, um multiplexador foi implementado ao final do sistema com 96 bits de entrada, 3 bits de seleção e 16 bits de saída para processar a saída do sistema entre os 6 possíveis elementos de 16 bits da matriz  $K_{3 \times 2}$ . Desta forma, o funcionamento do sistema para o cálculo do ganho do filtro kalman foi formatado no Diagrama de Blocos (RTL) e na máquina de estados Finitos (FSM) a seguir.

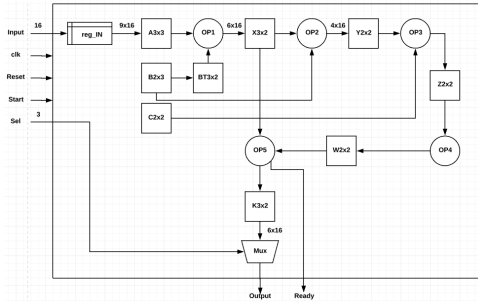


Figura 8. Diagrama de Blocos 06.

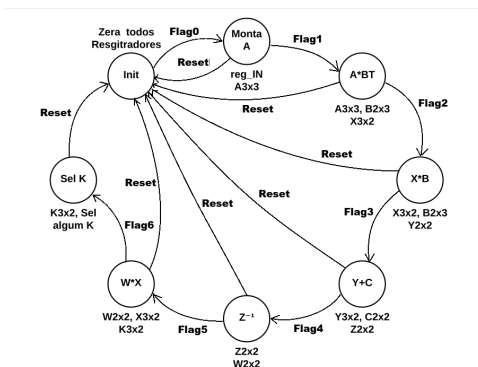


Figura 9. Máquina de Estados Implementada

Os estados da FSM do sistema estão melhor explicados na tabela III.

3) *Componentes Aritméticos*: Para possibilitar as operações aritméticas entre as matrizes ao longo do sistema, três componentes em VHDL foram instanciados a partir de IPcores do próprio Vivado, sendo eles um Somador/Subtrator, um Multiplicador e um Divisor. Todos trabalhando com uma formatação de 16 bits para os dados de entrada. No entanto, apenas o Somador/Subtrator mantém os 16 bits de entrada na saída, pois ao multiplicar ou dividir números binários de 16 bits o resultado será formatado em 32 bits o que dentro do sistema desenvolvido causa overflow. Problema esse que será melhor discutido na seção III.

### III. RESULTADOS

#### A. Filtro Sobel

1) *Temporização*: Considerando que o clock utilizado era de 100MHz, estimou-se para o primeiro filtro um total de 8043 ciclos de relógio de latência, para uma imagem de 250 por 250

Tabela I  
UTILIZAÇÃO DE HARDWARE

Recurso	Utilização	Disponível	Porcentagem
LUT	687	20800	3.30
LUTRAM	256	9600	2.67
FF	752	41600	1.81
IO	38	106	35.85
BUFG	1	32	3.13

pixels de 8 bits cada, pois, para preencher o registrador FIFO completamente (há 4 linhas mais 5 pixels, totalizando 8040 bits de leitura) e realizar as operações de multiplicação, soma e comparação (cada uma com 1 ciclo, totalizando os 3 ciclos restantes). Essa operação inicial, totalizaria aproximadamente  $80\mu s$ .

Utilizando a imagem de 100 por 100 pixels, de 10 bits cada, espera-se um tempo menor de latência, com 4053 ciclos de relógio, levando o mesmo raciocínio que a imagem maior, totalizaria aproximadamente  $40\mu s$ .

O throughput do circuito 100 por 100 com 10 bits fica em torno de  $104\mu s$ , para processar uma imagem de 1Kb, a velocidade fica em torno de 1Gbps. No circuito de 250 por 250, com 8 bits, consegue-se acelerar o processamento, chegando em torno de 4,5Gbps.

2) *Consumo de Hardware e Energético*: O consumo de hardware pode ser observado na tabela abaixo:

3) *Comparação Hardware e Software*: Abaixo, pode-se comparar as imagens processadas por hardware e por software.



Figura 10. Figura Original - Toys Flash

Para as figuras 100 por 100, temos os seguintes resultados:

#### B. Cálculo do Ganho do Filtro Kalman

Não se obteve resultados satisfatórios na codificação do filtro Kalman isso devido a existência de 3 problemas principais na implementação em VHDL da solução proposta

1) *Diferença do tamanho dos Dados*: Os dados de entrada do usuário no sistemas são de 16 bits e espera-se dados de saída também de 16 bits. No entanto, ao longo do sistemas os números binários encontram com multiplicações e divisões o

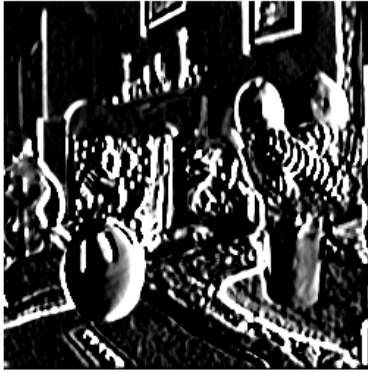


Figura 11. Bordas Verticais - Hardware

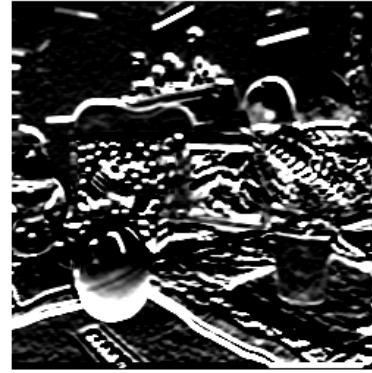


Figura 13. Bordas Horizontais - Hardware

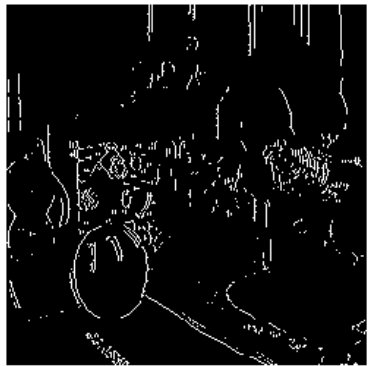


Figura 12. Bordas Verticais - Software



Figura 14. Bordas Horizontais - Software

que dobra a necessidade de memória para armazenar os dados formatando-os em 32 bits, o que cascadeou uma série de erros na hora da síntese do código.

2) *Utilização de Ipcorres*: O que a princípio facilitaria o trabalho com operações aritméticas durante o desenvolvimento da solução, na verdade dificultou ainda mais o trabalho deixando o código gigante e extremamente confuso. A maior parte do problema foi a inexperience em trabalhar com esse tipo de estrutura paralela via Ipcorres.

3) *Má Gestão do Tempo*: Dedicou-se pouco tempo para resolver o problema já que esse parecia muito simples de se resolver, mas se demonstrou muito complicado na hora da execução. Todo o levantamento teórico foi bem estruturado, como pode ser observado na sessão II. Procedimentos Experimentais e uma tentativa frustrada de codificar a solução está disponível no código `FiltroKalman.vhd` que mesmo inacabado possui mais de 800 linhas.

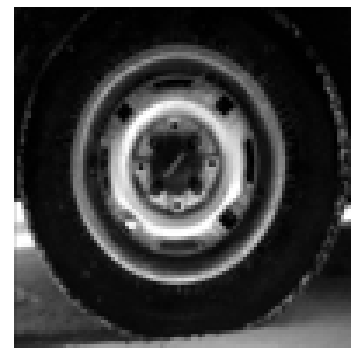


Figura 15. Figura Original - Tire

#### IV. CONCLUSÕES

Conclui-se que a implementação do filtro sobel atingiu padrões aceitáveis quanto ao nível de hardware, contudo, possui um gasto energético além do imaginado. Os resultados



Figura 16. Bordas Verticais - Hardware

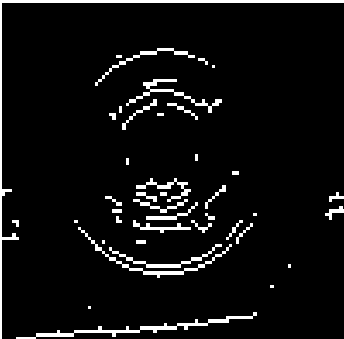


Figura 17. Bordas Verticais - Software



Figura 18. Bordas Horizontais - Hardware



Figura 19. Bordas Horizontais - Software

vista que os coeficientes do Kernel deveriam ser ajustados.

Com o filtro Kalman, não obteve-se resultados, pois a implementação não foi realizada com sucesso, assim como descrito em III.

Foi satisfatório o conhecimento aprendido com as ferramentas, espera-se aprofundar os conceitos da matéria nos próximos trabalhos. Observa-se que as aplicações utilizadas neste experimento são utilizáveis no cotidiano da engenharia.

#### REFERÊNCIAS

- [1] H. Kopka and P. W. Daly, *A Guide to L<sup>A</sup>T<sub>E</sub>X*, 3rd ed. Harlow, England: Addison-Wesley, 1999.
- [2] Valiante Filho, Filippo. Ferramentas e metodologias de desenvolvimento para sistemas parcialmente reconfiguráveis. Diss. Universidade de São Paulo, 2008.
- [3] Baptista, Daniel. "Desenvolvimento de circuitos reconfiguráveis para interface série usando o protocolo RS-232." *Electrónica e Telecomunicações* 4.8 (2007): 900-907.
- [4] Nausheen, Nazma, et al. "A FPGA based implementation of Sobel edge detection." *Microprocessors and Microsystems* 56 (2018): 84-91.

não são tão próximos aos apresentados pelo MatLab, tendo em

## V. ANEXO 1

Tabela II  
OPERAÇÕES E MATRIZES AUXILIARES (FILTRO KALMAN)

Operação	Matrizes Auxiliares	Resultado
OP1	$X_{3 \times 2} = A_{3 \times 3} \cdot (B_{3 \times 2})^T$	$A_{3 \times 3} \cdot (B_{3 \times 2})^T$
OP2	$Y_{2 \times 2} = B_{2 \times 3} \cdot X_{3 \times 2}$	$B_{2 \times 3} \cdot A_{3 \times 3} \cdot (B_{3 \times 2})^T$
OP3	$Z_{2 \times 2} = C_{2 \times 2} \cdot Y_{2 \times 2}$	$B_{2 \times 3} \cdot A_{3 \times 3} \cdot (B_{3 \times 2})^T + C_{2 \times 2}$
OP4	$W_{2 \times 2} = (Z_{2 \times 2})^{(-1)}$	$[B_{2 \times 3} \cdot A_{3 \times 3} \cdot (B_{3 \times 2})^T + C_{2 \times 2}]^{(-1)}$
OP5	$K_{3 \times 2} = W_{2 \times 2} \cdot X_{3 \times 2}$	$A_{3 \times 3} \cdot B_{3 \times 2} \cdot [B_{2 \times 3} \cdot A_{3 \times 3} \cdot (B_{3 \times 2})^T + C_{2 \times 2}]^{(-1)}$

Tabela III  
FSM IMPLEMENTADA

Estado	Função	Entradas	Saídas
<b>Init</b>	Zera todos os registradores e sinais	Todos os registradores e sinais	Flag 0 (Sinal)
<b>Monta A</b>	Montar matriz $A_{3 \times 3}$ a partir do registrador de entradas (reg IN)	reg IN (Registrador) Flag 0 (Sinal)	$A_{3 \times 3}$ (Matriz) Flag 1 (Sinal)
<b>A*BT</b>	OP1: Multiplicar as matrizes $A_{3 \times 3}$ e $BT_{3 \times 2}$	$A_{3 \times 3}$ , $BT_{3 \times 2}$ (Matriz) Flag 1 (Sinal)	$X_{3 \times 2}$ (Matriz) Flag 2 (Sinal)
<b>X*B</b>	OP2: Multiplicar as matrizes $X_{3 \times 2}$ e $B_{2 \times 3}$	$X_{3 \times 2}$ , $B_{2 \times 3}$ (Matriz) Flag 2 (Sinal)	$Y_{2 \times 2}$ (Matriz) Flag 3 (Sinal)
<b>Y+C</b>	OP3: Somar as Matrizes $Y_{2 \times 2}$ e $C_{2 \times 2}$	$Y_{2 \times 2}$ , $C_{2 \times 2}$ (Matriz) Flag 3 (Sinal)	$Z_{2 \times 2}$ (Matriz) Flag 4 (Sinal)
<b>Z<sup>(-1)</sup></b>	OP4: Inverter a matriz $Z_{2 \times 2}$	$Z_{2 \times 2}$ (Matriz) Flag 4 (Sinal)	$W_{2 \times 2}$ (Matriz) Flag 5 (Sinal)
<b>W*X</b>	OP5: Multiplicar as matrizes $W_{2 \times 2}$ e $X_{3 \times 2}$	$W_{2 \times 2}$ , $X_{3 \times 2}$ (Matriz) Flag 5 (Sinal)	$K_{3 \times 2}$ (Matriz) Flag 6 (Sinal) Ready (Sinal)
<b>Sel K</b>	Selecionar o elemento de saída do sistema	$K_{3 \times 2}$ (Matriz) Sel (3 bits de seleção) Flag 6 (sinal)	Algum elemento da matriz $K_{3 \times 2}$